

**PENERAPAN METODE *ORDINARY KRIGING* PADA PENDUGAAN
KADAR KARBON MONOKSIDA (CO) DI UDARA TAHUN 2020 (STUDI
KASUS: PENCEMARAN UDARA KOTA SURABAYA)**

SKRIPSI



**UIN SUNAN AMPEL
S U R A B A Y A**

Disusun Oleh
RISZA ASIH WULANDARI
H72217037

**PROGRAM STUDI MATEMATIKA
FAKULTAS SAINS DAN TEKNOLOGI
UNIVERSITAS ISLAM NEGERI SUNAN AMPEL
SURABAYA**

2021

PERNYATAAN KEASLIAN

Saya yang bertanda tangan di bawah ini,

Nama : RISZA ASIH WULANDARI

NIM : H72217037

Program Studi : Matematika

Angkatan : 2017

Menyatakan bahwa saya tidak melakukan plagiat dalam penulisan skripsi saya yang berjudul " PENERAPAN METODE *ORDINARY KRIGING* PADA PENDUGAAN KADAR KARBON MONOKSIDA (CO) DI UDARA TAHUN 2020 (STUDI KASUS: PENCEMARAN UDARA KOTA SURABAYA)". Apabila suatu saat nanti terbukti saya melakukan tindakan plagiat, maka saya bersedia menerima sanksi yang telah ditetapkan.

Demikian pernyataan keaslian ini saya buat dengan sebenar-benarnya.

Surabaya, 3 Juli 2021

Yang menyatakan,



RISZA ASIH WULANDARI

NIM. H72217037

LEMBAR PERSETUJUAN PEMBIMBING

Skripsi oleh

Nama : RISZA ASIH WULANDARI
NIM : H72217037
Judul Skripsi : PENERAPAN METODE *ORDINARY KRIGING* PADA
PENDUGAAN KADAR KARBON MONOKSIDA
(CO) DI UDARA TAHUN 2020 (STUDI KASUS:
PENCEMARAN UDARA KOTA SURABAYA)

telah diperiksa dan disetujui untuk diujikan.

Surabaya, 03 Juli 2021

Pembimbing 1



Potrone Keumala Intan, M.Si
NIP. 198805282018012001

Pembimbing 2



Lutfi Hakim, M.Ag
NIP. 197312252006041001

Mengetahui,
Ketua Program Studi Matematika
UN Sunan Ampel Surabaya



Aris Fahani, W.Kom
NIP. 198701272044031002

PENGESAHAN TIM PENGUJI SKRIPSI

Skripsi oleh

Nama : RISZA ASIH WULANDARI
NIM : H72217037
Judul Skripsi : PENERAPAN METODE *ORDINARY KRIGING* PADA
PENDUGAAN KADAR KARBON MONOKSIDA
(CO) DI UDARA TAHUN 2020 (STUDI KASUS:
PENCEMARAN UDARA KOTA SURABAYA)

Telah dipertahankan di depan Tim Penguji
pada tanggal 12 Agustus 2021

Mengesahkan,
Tim Penguji

Penguji I



Putroue Keumala Intan, M.Si
NIP. 198805282018012001

Penguji II



Lukman Hakim, M.Ag
NIP. 197312252006041001

Penguji III



Dian C. Rini Novitasari, M.Kom
NIP. 198511242014032001

Penguji IV



Yuniar Farida
NIP. 19790527014032002

Mengetahui,
Dekan Fakultas Sains dan Teknologi
UIN Sunan Ampel Surabaya




H. Evik Fatmahanik Rusdiyah, M.Ag
NIP. 197312272005012003



KEMENTERIAN AGAMA
UNIVERSITAS ISLAM NEGERI SUNAN AMPEL SURABAYA
PERPUSTAKAAN

Jl. Jend. A. Yani 117 Surabaya 60237 Telp. 031-8431972 Fax.031-8413300

E-Mail: perpus@uinsby.ac.id

LEMBAR PERNYATAAN PERSETUJUAN PUBLIKASI
KARYA ILMIAH UNTUK KEPENTINGAN AKADEMIS

Sebagai sivitas akademika UIN Sunan Ampel Surabaya, yang bertanda tangan di bawah ini, saya:

Nama : Risza Asih Wulandari
NIM : H72219037
Fakultas/Jurusan : SAINTEK / Matematika
E-mail address : riszaasihwulandari@gmail.com

Demikian pengembangan ilmu pengetahuan, menyetujui untuk memberikan kepada Perpustakaan UIN Sunan Ampel Surabaya, Hak Bebas Royalti Non-Eksklusif atas karya ilmiah :

Skripsi Tesis Desertasi Lain-lain (.....)

yang berjudul :

Penerapan Metode Ordinary Kriging pada pendugaan kadar
Karbon Monoksida (CO) di udara Tahun 2020 (studi kasus :
Pencemaran udara kota Surabaya)

beserta perangkat yang diperlukan (bila ada). Dengan Hak Bebas Royalti Non-Eksklusif ini Perpustakaan UIN Sunan Ampel Surabaya berhak menyimpan, mengalih-media/format-kan, mengelolanya dalam bentuk pangkalan data (database), mendistribusikannya, dan menampilkan/mempublikasikannya di Internet atau media lain secara *fulltext* untuk kepentingan akademis tanpa perlu meminta ijin dari saya selama tetap mencantumkan nama saya sebagai penulis/pencipta dan atau penerbit yang bersangkutan.

Saya bersedia untuk menanggung secara pribadi, tanpa melibatkan pihak Perpustakaan UIN Sunan Ampel Surabaya, segala bentuk tuntutan hukum yang timbul atas pelanggaran Hak Cipta dalam karya ilmiah saya ini.

Demikian pernyataan ini yang saya buat dengan sebenarnya.

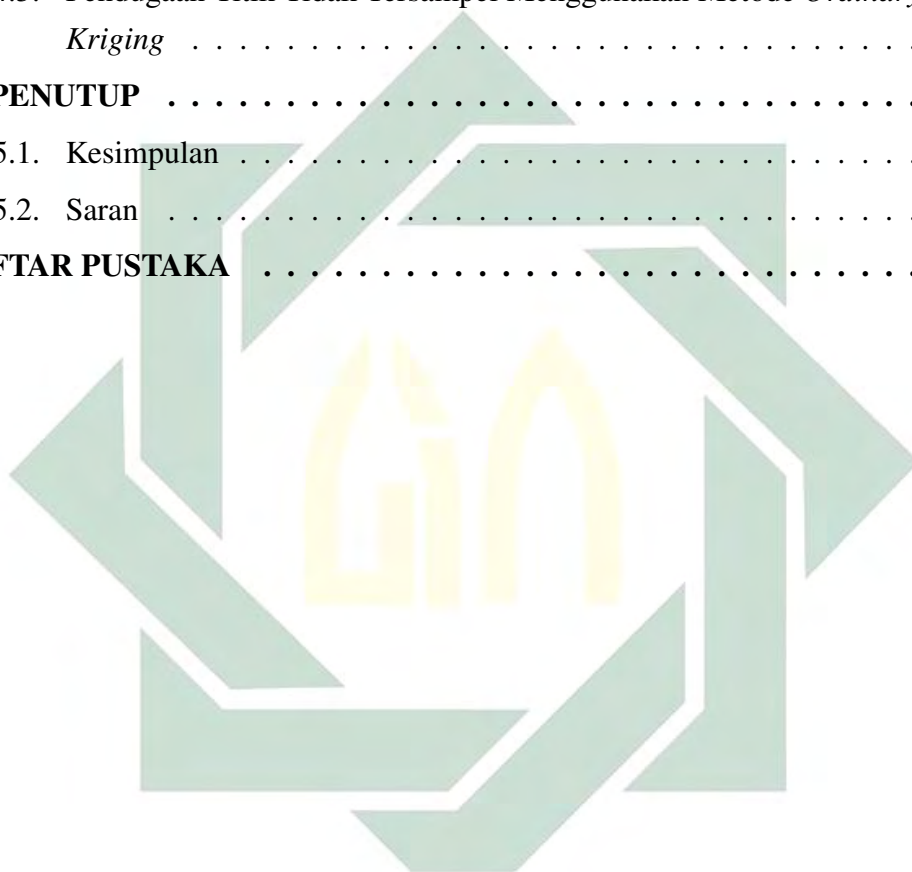
Surabaya, 14 Agustus 2021

Penulis

(Risza Asih wulandari)

2.2.6.	Dampak Pencemaran Udara	26
2.3.	Karbon Monoksida (CO)	26
2.3.1.	Pengertian Karbon Monoksida (CO)	26
2.3.2.	Proses Pembentukan Karbon Monoksida (CO)	27
2.3.3.	Dampak Karbon Monoksida	28
2.3.4.	Pengendalian Karbon Monoksida (CO)	30
2.4.	Data Spasial	32
2.4.1.	Data Geostatistika	33
2.4.2.	Data Area (<i>Lattice Data</i>)	34
2.4.3.	Pola Titik (<i>Point Pattern</i>)	35
2.5.	<i>Kriging</i>	36
2.6.	Jarak <i>Euclidean</i>	37
2.7.	Pendeteksian Pencilan Spasial (<i>Spatial Outlier</i>)	38
2.8.	Variogram dan Semivariogram	39
2.8.1.	Variogram dan Semivariogram Eksperimental	40
2.8.2.	Semivariogram Teoritis	43
2.9.	<i>Mean Absolute Percent Error</i> (MAPE)	45
2.10.	Pendugaan Parameter <i>Ordinary Kriging</i>	46
III	METODE PENELITIAN	51
3.1.	Tempat dan Waktu Penelitian	51
3.2.	Objek Penelitian	51
3.3.	Jenis dan Sumber Data	51
3.4.	Variabel Penelitian	52
3.5.	Tahapan Penelitian	52
3.5.1.	Data Deskriptif	54
3.5.2.	Deteksi Pencilan	55
3.5.3.	Analisis Semivariogram Eksperimental	56
3.5.4.	Analisis Semivariogram Teoritis	57
3.5.5.	Analisis Struktural	59
3.5.6.	Penaksiran Kadar Karbon Monoksida (CO)	59

IV HASIL DAN PEMBAHASAN	61
4.1. Deskripsi Data	61
4.2. Pendeteksian Pencilan (<i>Outlier</i>) Spasial	64
4.3. Analisis Semivariogram Eksperimental	73
4.4. Penentuan Model Semivariogram Teoritis	79
4.5. Pendugaan Titik Tidak Tersampel Menggunakan Metode <i>Ordinary Kriging</i>	86
V PENUTUP	105
5.1. Kesimpulan	105
5.2. Saran	106
DAFTAR PUSTAKA	107



berbahaya, makhluk hidup harus sadar diri untuk sama-sama menjaga lingkungan agar dampak yang ditimbulkan semakin berkurang.

Faktor yang menyebabkan udara kotor yang termasuk pada pencemaran udara adalah dari sumber yang bergerak dan tak bergerak. Meliputi sektor transportasi, industri dan domestik serta pertumbuhan penduduk, laju urbanisasi yang tinggi dengan bertambahnya aktivitas manusia sebagai penghasil polutan aktif. Contohnya adalah penggunaan kendaraan bermotor, karena dilihat dari jumlah kendaraan di Indonesia yang terus berkembang menunjukkan di tahun 2016 mencapai 124.215 juta unit dengan peningkatan per tahunnya mencapai 6 juta unit (Ardani, 2016).

Berdasarkan data Badan Pusat Statistika (BPS) pada tahun 2018 angka peningkatan kendaraan bermotor menunjukkan 146.858 juta dengan emisi gas buang kendaraan adalah Karbon Monoksida (CO) yang bersifat racun (Ferdinand, 2016). Tingginya tingkat konsentrasi Karbon Monoksida (CO) dapat mempengaruhi faktor kesehatan manusia dan penyebab rumah kaca yang dapat mempengaruhi naiknya suhu dan kelembapan udara di bumi (Haruna dkk, 2019). Hal ini diperlukan kesadaran masyarakat untuk melakukan pembatasan terhadap penggunaan kendaraan pribadi, didukung oleh tersedianya angkutan umum dari pemerintah agar menciptakan lingkungan yang nyaman dan sehat bagi seluruh makhluk hidup di bumi.

Al-Quran pun telah menjelaskan secara jelas dan rinci tentang pentingnya menjaga kesehatan lingkungan agar tidak terjadi kerusakan alam seperti pencemaran air, udara dan tanah. Al-Quran telah menjelaskan secara detail terkait tentang kerusakan lingkungan yang dituliskan dalam QS Ar-Rum Surat ke-30 ayat

tubuh, misalnya adalah melindungi area indra pernapasan seperti hidung dan mulut dengan memakai masker jika berada diluar rumah dengan lingkungan yang memiliki konsistensi polutan yang tinggi (Damara dkk, 2017). Adanya ilmu spiritual seperti contoh ayat diatas dapat menyelamatkan alam khususnya lingkungan dengan menghadirkan paradigma baru, yaitu makin menambah kecintaan manusia kepada alam dan menumbuhkan rasa kesadaran dari dalam diri agar tahu pentingnya menjaga alam adalah sebagai titipan dari anak cucu kita nanti (Nurhayati dkk, 2018).

Berdasarkan catatan Organisasi Kesehatan Dunia (WHO) pencemaran udara mengakibatkan 6,5 juta orang meninggal tiap tahunnya di tahun 2016 akibat paparan polusi udara. (WHO, 2014). Indonesia tercatat 16.000 kematian tiap tahunnya dengan perbandingan 1 sampai 10 anak menderita asma dan infeksi saluran pernapasan (Rohmatullah, 2016). Karbon Monoksida (CO) termasuk gas polutan yang sulit terdeteksi karena terkandung dalam asap mobil, motor, kompor gas, pembakaran kayu, bensin, arang, dll dengan gas yang tidak memiliki bau dan warna. Karbon Monoksida (CO) disebut juga *silent killer* atau pembunuh diam-diam atau bagi seseorang yang telah terpapar (Kevin, 2020).

Adanya banyak dampak negatif yang ditimbulkan oleh gas pencemar udara seperti CO, BLH (Badan Lingkungan Hidup) Kota Surabaya telah mengukur dari titik sampel agar mengetahui tingkat konsentrasi dari beberapa jenis gas polutan seperti Karbon Monoksida (CO), Nitrogen Dioksida (NO₂), Oksidan (O₃) dan lain sebagainya tetapi pengukuran yang telah dilakukan mempunyai tingkat efektifitas dan efisiensi yang kurang memadai karena terhalang dana yang besar jika dilakukan di seluruh titik dan waktu yang lama, sehingga perlu dilakukan pengukuran kembali dengan cara lain seperti menggunakan perhitungan dengan

metode interpolasi agar dapat memprediksi tingkat konsentrasi khususnya Karbon Monoksida (CO) di beberapa titik pengukuran.

Istilah interpolasi atau biasa dikenal dengan interpolasi geostatistik lebih berfokus pada data yang mempunyai efek spasial seperti data pencemaran udara karena dapat memberikan penaksiran yang digunakan untuk menduga nilai pada suatu titik sampel pengukuran (Purnama dkk, 2015). Interpolasi spasial dapat digunakan untuk mengidentifikasi karakteristik keadaan alam dan buatan, lokasi geografis atau hubungan dalam ruang bumi sehingga beberapa data yang tidak tersedia dapat diatasi dengan penggunaan interpolasi spasial (Fauzi, 2018). Geostatistik sendiri sudah dikenal sejak tahun 1980an sebagai campuran ilmu pertambangan, matematika, geologi dan statistika. Awal mula metode tersebut digunakan untuk menaksirkan cadangan mineral seperti emas, perak dan platina yang terkubur dibawah permukaan bumi sehingga penggunaan model geostatistik dapat memodelkan kecenderungan spasial dan korelasi spasial pada data spasial (Andarini, 2017)

Seorang insinyur pertambangan asal Afrika Selatan yang bernama D.K. Krige memperkenalkan satu dari banyaknya metode interpolasi spasial yang dapat digunakan untuk variabel terregionalisasi atau variabel dengan nilai bervariasi dengan perubahan letak geografis. Metode yang digunakan untuk mengatasi masalah variabel terregionalisasi salah satunya adalah metode *kriging*. Metode *kriging* dikembangkan oleh Georges Matheron yang diaplikasikan pada data geostatistika (Yendra dan Risman, 2019).

Metode *kriging* bisa dikatakan nilai dari estimasi *Invers Distance Weighted* (IDW) dengan menggunakan kombinasi linier dan nilai bobot yang digunakan untuk memperkirakan nilai diantara sampel data. Diasumsikan dengan jarak dan

orientasi sampel data menunjukkan hasil korelasi spasial dalam hasil interpolasi (Sejati, 2019). Fungsi atau model metode *kriging* pada matematika telah banyak digunakan sebagai pendekatan untuk mengidentifikasi struktur spasial dan dapat diaplikasikan pada bidang hidrologi untuk mengetahui perilaku spasial dan temporal dalam data (Al Aswant, 2016).

Penyelesaian masalah yang berhubungan dalam ilmu geostatistika banyak menggunakan macam-macam metode *kriging* dibedakan berdasarkan ada atau tidaknya rata-rata populasi atau *mean* diantara adalah *simple kriging*, *ordinary kriging* dan *universal kriging* dengan fungsi yang berbeda pula (Fauzi, 2018). Asumsi bahwa rata-rata populasi (*mean*) diketahui dan bernilai konstan dan kemudian data akan dipartisi dengan nilai duga menjadi beberapa bagian, dapat menggunakan metode *simple kriging*. Sedangkan asumsi dengan nilai rata-rata populasi tidak diketahui dan penggunaan data tidak mengandung pencilan atau *outlier* serta tidak mengandung *trend* dapat menggunakan *ordinary kriging*. *Universal kriging* digunakan apabila data spasial yang digunakan tidak stasioner dan mengandung *trend* (Yendra dan Risman, 2019).

Pengestimasi data spasial harus melakukan pengukuran jarak data pengamatan biasanya, menggunakan jarak *euclidean*, kuadrat *euclidean*, jarak *city-block* atau manhattan dan *chebychev* dengan tujuan untuk mengukur kesamaan korelasi antar nilai data pengamatan dengan masing-masing persamaan jarak yang dimiliki (Rozalia, 2016). Pengukuran estimasi data spasial juga menggunakan suatu perangkat agar dapat mensimulasikan, memodelkan, menggambarkan dan dapat mengetahui korelasi variabel random $Z(s)$ dan $Z(s + h)$ yang disebut dengan semivariogram. Semivariogram yang disimbolkan dengan γ besarnya setengah dari variogram, sehingga variogram dipresentasikan sebagai nilai variansi

dari sebuah jarak yang tidak berkorelasi atau tidak saling bergantung (Fauzi, 2018).

Variogram dan semivariogram dibagi menjadi dua yaitu eksperimental dan teoritis. Variogram eksperimental diperoleh dari data hasil pengamatan dan pengukuran di lapangan, sedangkan variogram yang memiliki bentuk hampir sama atau mendekati eksperimental adalah variogram teoritis, itulah mengapa perlu adanya perubahan model dari semivariogram eksperimental ke teoritis (Fauzi, 2018). Variogram teoritis dibagi menjadi beberapa model dengan persamaan fungsi yang berbeda yaitu semivariogram spherical, semivariogram eksponensial dan semivariogram gaussian dengan parameter yang harus diketahui adalah *nugget effect*, *sill*, dan *range* (Andarini, 2017).

Penelitian yang dikembangkan oleh Janaina Antonino Pinto, dkk menggunakan analisis variogram dan semivariogram data spasial dengan judul *Kriging method application and traffic behavior profiles from local radar network database: A proposal to support traffic solutions and air pollution control strategies*. Penelitian tersebut mengambil studi kasus kota padat penduduk, tepatnya pada penduduk daerah Brazil dengan total 20 juta kendaraan dengan menggunakan model Inventarisasi Emisi Kendaraan Nasional (VEIN) yang dibuat dari data radar lokal dan interpolasi *kriging*. Dibuat 4 skenario yaitu kombinasi berdasarkan perilaku lalu lintas, arus kendaraan, jenis kendaraan dan konsumsi bahan bakar kendaraan, penelitian ini menyatakan bahwa perbandingan antar skenario menunjukkan penurunan emisi sekitar 8,5% untuk Karbon Monoksida (CO), 8,8% untuk Karbon Dioksida (CO₂), 8,4% untuk Oksida Nitrogen (NO_x) dan 8,6% untuk polutan udara (PM) yang terdiri dari campuran partikel padat dan cair di udara. Penelitian ini juga menunjukkan bahwa metode *kriging* yang

bertujuan untuk mendefinisikan interpolasi spasial yang menggunakan data lalu lintas radar merupakan metode yang baik dengan alternatif biaya rendah untuk menyelidiki pengaruh nyata dari pemodelan emisi kendaraan (Pinto et al, 2020).

Gera Rozalia juga telah melakukan penelitian terhadap kualitas pencemaran udara dengan parameter Nitrogen Dioksida (NO₂) dengan judul "Penerapan Metode Ordinary Kriging Pada Pendugaan Kadar NO₂ Di Udara (Studi Kasus: Pencemaran Udara Di Kota Semarang)". Pengambilan parameter NO₂ dikarenakan, NO₂ adalah salah satu tolak ukur untuk menentukan kualitas udara tercemar dengan polutan yang berwarna coklat kemerah-merahan, berbau tajam, dan tentunya sangat berbahaya. Penelitian ini bertujuan memprediksi dengan metode berbasis interpolasi geostatistik dengan metode *ordinary kriging*. Penggunaan analisis semivariogram eksperimental dan teoritis, dengan membandingkan nilai bobot yaitu model *gaussian*, *eksponensial*, dan *spherical*. Dilakukan di 177 kelurahan titik tidak tersempele dengan 26 titik tersampel, penelitian tersebut menyimpulkan bahwa metode kriging yang digunakan dapat memberikan nilai prediksi yang nyata, dibanding dengan pengukuran secara langsung karena membutuhkan waktu yang lama serta biaya yang besar. Dinyatakan bahwa status kualitas udara Kota Semarang masih jauh dibawah batas Baku Mutu Udara Ambien (BMUA). Nilai kandungan NO₂ tertinggi terdapat pada kelurahan Gerbangsari yaitu 8.49155 $\mu\text{g}/\text{Nm}^3$ dan terendah pada kelurahan Patemon yaitu 0.16627 $\mu\text{g}/\text{Nm}^3$ (Rozalia, 2016) .

Karbon Monoksida (CO) dan Nitrogen Dioksida (NO₂) merupakan parameter penting adanya perubahan kualitas udara ambien, apabila terjadi peningkatan kadar kedua polutan tersebut maka dikatakan udara telah tercemar. Polutan CO dan NO₂ memiliki beberapa persamaan yaitu sama-sama berasal dari

2. BAB II TINJAUAN PUSTAKA

Pada bab ini akan dijelaskan beberapa materi yang dijadikan acuan dari permasalahan pencemaran udara dengan parameter kadar Karbon Monoksida (CO) di udara terhadap metode yang digunakan adalah *ordinary kriging* dengan penjelasan materi terhadap beberapa model semivariogram dan variogram yang digunakan seperti semivariogram gaussian, semivariogram spherical dan semivariogram exponential.

3. BAB III METODOLOGI PENELITIAN

Pada bab ini menjelaskan terkait metode penulisan yang digunakan yaitu dengan menggunakan metode *ordinary kriging* dengan membandingkan model semivariogram dan variogram dengan model yang digunakan seperti semivariogram gaussian, semivariogram spherical dan semivariogram exponential. Pengolahan data menggunakan alat bantu Ms. Excel dan SPSS beserta analisis kesimpulannya.

4. BAB IV ANALISIS DAN PEMBAHASAN

Pada bab ini menjelaskan hasil dan pembahasan dari perhitungan kadar Karbon Monoksida (CO) di udara dengan menggunakan metode geostatistika yang digunakan yaitu metode *ordinary kriging* dengan penggunaan bobot lokasi jarak Euclidean dan membandingkan model semivariogram dan variogram yang digunakan seperti semivariogram gaussian, semivariogram spherical dan semivariogram exponential. Dalam pemilihan model yang terbaik dilihat menggunakan nilai dari nilai *Mean Absolute Percentage Error* (MAPE) yang terkecil. Dalam proses perhitungannya akan dibantu dengan software Ms. Excel dan SPSS untuk melihat nilai-nilai yang dibutuhkan dan proses analisis akan lebih mudah

2.2. Pencemaran Udara

2.2.1. Pengertian Pencemaran Udara

Pemerintah telah mengatur dalam PP RI No. 41 Tahun 1999 menyatakan bahwa masuknya dan dimasukkannya zat lain kedalam udara ambien normal dari kegiatan yang dihasilkan oleh manusia disebut pencemaran udara, sehingga tidak memenuhi fungsi semestinya. Pencemaran atau polusi sendiri merupakan berubahnya kondisi sebelumnya atau kondisi normal menjadi buruk. Sedangkan lingkungan merupakan media atau area, wilayah yang banyak dilakukannya aktifitas. Sehingga jika terjadi pencemaran udara berarti terdapat zat lain di udara ambien yang menyebabkan komposisi udara tidak normal (Prabowo and Muslim, 2018).

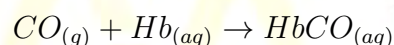
Udara merupakan campuran gas yang mengelilingi bumi dengan komposisi gas tidak konstan atau tidak memiliki perbandingan yang tetap, sangat bergantung pada tekanan, suhu dan lingkungan sekitar. Sedangkan polusi udara adalah gabungan udara yang tercemar atau udara kotor yang berbeda-beda jenisnya berkumpul menjadi satu, kebanyakan berasal dari aktifitas manusia seperti kendaraan bermotor, asap pembakaran limbah pabrik, aktivitas rumah tangga, dan lain sebagainya (Abidin dan Hasibuan, 2019).

Udara dikatakan normal harus memenuhi standart baku mutu ambien nasional yang telah ditetapkan oleh pemerintah berdasarkan pengukuran dan pengujian yang telah dilakukan oleh para ahli lingkungan, batas kadar yang diperbolehkan dengan tidak adanya efek samping atau gangguan disebut baku mutu ambien. Istilah lain yang dikenal dengan baku mutu udara emisi merupakan batas kadar yang dikeluarkan dari sumber pencemar tetapi tidak boleh melebihi baku mutu ambien di udara (Jaya, 2017). Berikut adalah beberapa gas polutan dengan nilai

Tabel 2.1 Buku Mutu Kualitas Udara Ambien

No.	Parameter	Waktu Pengukuran	Baku Mutu $\mu g/Nm^3$
1	SO ₂	1 Jam	900
		24 Jam	365
2	CO	1 Jam	30000
		24 Jam	10000
3	NO ₂	1 Jam	400
		24 Jam	150
4	O ₃	1 Jam	235
5	HC	3 Jam	150
6	TSP (Debu)	1 Jam	90
		24 Jam	230
7	PB (Timah Hitam)	1 Jam	1
		24 Jam	2

merupakan hasil pembakaran yang tidak sempurna dari Karbon Dioksida (CO₂). CO juga dikatakan sebagai intermediat yang merupakan produk akhir dari jumlah oksigen (O₂) yang tidak dapat bereaksi. Dampak yang sangat bahaya pada saat paparan CO telah tercampur pada darah manusia, disebabkan apabila ruangan tertutup seperti rumah yang dibiarkan terbuka dalam satu hari, otomatis gas Karbon Monoksida (CO) akan masuk dalam ruangan. Apabila gas tersebut dihirup oleh manusia dan masuk ke dalam paru-paru maka oksigen dalam tubuh akan berkurang dan CO dengan mudah akan diikat oleh hemoglobin menjadi senyawa karboksihemoglobin. Reaksi kimia akan dijelaskan di bawah ini: (Hazsya dkk, 2018)



Reaksi diatas memiliki nilai Hb dan CO 250 kali lipat dibanding oksigen, hal ini mengakibatkan CO sulit terlepas dari Hb. Sedangkan fungsi Hb adalah membawa oksigen ke dalam aliran darah, bila telah tercampur dengan CO maka aliran akan tersumbat dan tubuh akan mengalami kekurangan oksigen, hal ini dapat mengakibatkan kematian. Beberapa gejala atau dampak yang ditimbulkan dari paparan Karbon Monoksida dalam tubuh adalah : (Damara dkk, 2017)

- b. Sumber tidak bergerak, contohnya seperti mengganti peralatan yang rusak, memasang scrubber pada cerobong asap, dan menggunakan bahan bakar minyak atau batu bara dengan kadar Karbon Monoksida (CO) rendah.
- c. Manusia, apabila kadar CO telah melebihi $10.000 \mu g/Nm^3$ dengan waktu pengukuran 24 jam maka kita harus menggunakan Alat Pelindung Diri (APD) atau paling tidak menggunakan masker dan menutup atau menghindari tempat yang terdeteksi banyak CO seperti lalu lintas perkotaan.

2. Penanggulangan (Kevin, 2020)

- a. Mengatur pertukaran udara didalam ruangan menggunakan *exhaust-fan*.
- b. Bila terjadi korban keracunan dengan gejala-gejala yang sudah ada maka harus dengan cepat diberi nafas tambahan dan dikirim ke rumah sakit terdekat.

Dari penjelasan diatas maka penelitian ini akan berfokus pada masalah pencemaran udara dari beberapa pencemaran-pencemaran lainnya dibumi, dengan jenis polutan yang digunakan adalah Karbon Monoksida (CO) karena termasuk jenis gas polutan yang sangat berbahaya bagi kesehatan mahluk hidup di bumi. Karbon Monoksida (CO) ini bahkan tidak memiliki warna dan bau sehingga akan sulit dideteksi jika kita menghirupnya, karna itu disebut polutan beracun dan disebut juga *silent killer* atau pembunuh diam-diam, dengan dampak yang sangat berbahaya.

2. *Ordinary Kriging*

Ordinary kriging disebut metode paling sederhana pada data geostatistika. Metode ini memiliki asumsi bahwa nilai rata-rata populasi (*mean*) tidak diketahui tetapi bernilai konstan dan data spasial yang digunakan tidak mengandung *trend* dan pencilan (*outlier*) (*outlier*).

3. *Universal Kriging*

Universal kriging biasa disebut juga dengan *kriging with a trend* karena data memiliki kecenderungan *trend*, dimaksud data *trend* karena data memiliki kecenderungan naik dan turun dalam jangka waktu panjang. Metode *universal kriging* juga merupakan bentuk umum dari *simple kriging* digunakan untuk mengangani masalah kestasioneran dari data yang digunakan.

2.6. **Jarak *Euclidean***

Jarak *Euclidean* merupakan tipe pengukuran jarak dalam analisis kluster yang digunakan untuk mengukur jarak dari objek data ke pusat kluster yang mempunyai skala data kontinu dan merupakan jarak geometris dari dua objek data. Semakin dekat jaraknya maka semakin mirip dua objek data tersebut (Miftahuddin dkk, 2020). Kelebihan menggunakan jarak *euclidean* ini adalah dapat digunakan untuk mencerminkan ketidaksamaan dua data dan dapat digunakan untuk mengevaluasi kedekatan objek dalam satu sampai tiga dimensi, sedangkan kekurangannya adalah sensitif terhadap besarnya nilai sampel dan sebaran varians, jika memiliki nilai varian yang berbeda maka jarak yang dihasilkan menjadi tidak akurat (Nishom, 2019). Pengukuran jarak lain yang dapat digunakan, contohnya seperti jarak manhattan/city block, minkowski,

Setelah diperoleh nilai atau parameter-parameter dari semivariogram eksperimental, maka selanjutnya akan dianalisis lebih lanjut pada pergantian semivariogram eksperimental menjadi teoritis dengan parameter-parameter yang berpengaruh.

2.8.2. Semivariogram Teoritis

Parameter yang digunakan untuk mencari nilai dalam semivariogram teoritis seperti *nugget effect* (C_0), *sill* (C_0+C) dan *range* (a) (Puspitasari dkk, 2019). Berikut penjelasan masing-masing parameter:

1. *Nugget Effect* (C_0)

Nugget effect adalah sebuah pendekatan dari nilai semivariogram pada jarak sekitar nol (0).

2. *Sill* (C_0+C)

Sill merupakan nilai semivariogram yang memiliki nilai stabil, nilainya sama dengan varian data spasial.

3. *Range* (a)

Range merupakan jarak pada saat semivariogram mencapai *sill*. Nilai *sill* diperoleh dengan cara mengambil batas tengah dari nilai semivariogram yang paling mendekati nilai varian data spasial.

Setelah memperoleh nilai dari setiap parameter diatas, selanjutnya mengubah semivariogram eksperimental menjadi model semivariogram teoritis. Nilai tersebut digunakan untuk analisis struktural, yaitu dengan membandingkan nilai *Mean Absolute Percentage Error* (MAPE) antara semivariogram eksperimental dengan semivariogram teoritis. Dari perbandingan tersebut akan

pencilan, data tersebut harus dibuang atau tidak diikutsertakan pada pengolahan data dan analisis.

4. Membagi data yang tidak mengandung pencilan menjadi beberapa kelas dengan jarak atau interval yang telah ditentukan sehingga membentuk suatu klaster.
5. Menghitung nilai semivariogram eksperimental dengan persamaan yang telah terbentuk. Nilai semivariogram eksperimental diperoleh dari titik tersampel.
6. Menghitung nilai semivariogram teoritis menggunakan parameter yang dibutuhkan, seperti *sill* dan *range* yang didapat dari semivariogram eksperimental.
7. Melakukan analisis struktural, dengan membandingkan nilai semivariogram ketiga model semivariogram teoritis seperti, model semivariogram *spherical*, model semivariogram *gaussian* dan model semivariogram *eksponensial*. Penentuan model terbaik dilihat dari nilai *Mean Absolute Percentage Error* (MAPE) yang terkecil, artinya dengan nilai kesalahan model sedikit atau baik.
8. Menghitung nilai bobot untuk lokasi yang belum tersampel dengan menggunakan satu model semivariogram teoritis yang terbaik.
9. Pengukuran penaksiran atau pendugaan kadar gas polutan Karbon Monoksida (CO) dengan metode *ordinary kriging*.
10. Diagram alir (*Flowchart*) yang menggambarkan keseluruhan langkah-langkah analisis pada penelitian ini adalah sebagai berikut:

3.5.2. Deteksi Pencilan

Adapun langkah-langkah untuk mendeteksi pencilan pada data yaitu:

1. Pengukuran jarak *euclidean* untuk menentukan titik-titik lokasi yang saling berdekatan atau bertetangga menggunakan persamaan (2.1).
2. Perhitungan rata-rata (*mean*) dan standart deviasi untuk setiap titik lokasi pengukuran.
3. Mencari titik lokasi yang bertetangga dari setiap titik lokasi yang berdekatan, dengan asumsi dikatakan bertetangga jika nilai selisih dari *mean* (μ) dan standart deviasi (σ) kurang dari nilai tersebut.
4. Menghitung nilai mean dari data yang bertetangga saja.
5. Menghitung nilai $s(x)$ yaitu nilai selisih dari data CO yang dilakukan pengukuran dengan *mean* tetangga dari langkah ke-4.
6. Kemudian dihitung kembali untuk nilai mean dari $s(x)$ dan standart deviasi dari $s(x)$
7. Menghitung nilai $Z_{s(x)}$ dengan persamaan (2.3).
8. Pengajuan hipotesis, dengan H_o adalah x bukan merupakan pencilan dan H_1 adalah x merupakan pencilan, dengan syarat jika H_o ditolak apabila $Z_{(hitung)}$ atau $Z_{s(x)} > Z_{(\alpha=0,05)}$
9. Jika terdapat data *outlier* maka data tersebut akan dibuang atau tidak diikuti sertakan dalam perhitungan, karena metode *ordinary kriging* menggunakan data yang tidak mengandung *outlier*.

3.5.5. Analisis Struktural

Analisis struktural pada tahap ini adalah menganalisa dan mengetahui bagaimana hasil perbandingan antara semivariogram eksperimental dan semivariogram teoritis terhadap tiga model yang digunakan, dengan memperhatikan nilai MAPE. Setelah itu model terbaik tersebut akan digunakan untuk menduga atau menaksir jumlah kandungan kadar karbon monoksida (CO) disuluruh kelurahan Kota Surabaya.

3.5.6. Penaksiran Kadar Karbon Monoksida (CO)

Adapun langkah-langkah untuk menaksirkan kadar karbon monoksida (CO) adalah:

1. Melakukan pendugaan konsentrasi CO, misalkan pendugaan disimbolkan dengan \hat{Z}_s sejumlah n yang digunakan dengan titik observasi yang diketahui adalah $Z_1, Z_2, Z_3, \dots, Z_n$ dan nilai bobot adalah $W_1, W_2, W_3, \dots, W_n$.
2. Untuk memperoleh nilai bobot (W) terlebih dahulu harus mengetahui nilai A^{-1} , yaitu nilai invers dari A . A adalah nilai semivariogram teoritis yang terbaik tiap pasangan tersampel.
3. Mencari nilai A yaitu dengan mencari jarak dari masing-masing titik tersampel dengan titik P (lokasi yang dicari atau pada kelurahan pertama).
4. Nilai A berupa matriks dicari dengan menggunakan rumus model terbaik semivariogram teoritis.
5. Setelah mengetahui nilai matriks A kemudian diubah ke bentuk A^{-1} .
6. Menghitung vektor B , yang merupakan nilai semivariogram teoritis satu

9.	Kel. Wonorejo	112,795	7,311	2223,986
10.	PMK Rungkut	112,734	7,272	1862,641
11.	Kec. Wiyung	112,695	7,314	2737,405
12.	Kec. Tegalsari	112,740	7,287	2564,342
13.	PT Salim Invomas	112,735	7,235	2119,276
14.	Kec. Mulyorejo	112,784	7,261	1934,012
15.	Kec. Kenjeran	112,775	7,226	1920,824
16.	Kec. Semampir	112,744	7,225	3714,59
17.	Kec. Rungkut	112,770	7,322	2006,305
18.	Kec. Lakarsantri	112,632	7,303	1841,334
19.	Kec. Karangpilang	112,694	7,341	1479,696
20.	Kel. Lidahkulon	112,651	7,305	1866,262
21.	Kec. Wonokromo	112,733	7,302	2586,108
22.	RS Mitra Keluarga	112,691	7,266	3328,355
23.	Kel. Medoan Ayu	112,795	7,323	1775,703
24.	Kec. Tambaksari	112,755	7,257	1666,152
25.	Polsek Simokerto	112,746	7,238	2780,132
26.	Kec. Wonocolo	112,741	7,320	2174,349
27.	Kec. Jambangan	112,713	7,321	1897,214
28.	Kec. Sukomanunggal	112,712	7,260	1805,229
29.	RS Pura Raharja	112,752	7,283	2556,106
30.	Kec. Bulak	112,785	7,231	1682,266
31.	KUA Bulak	112,790	7,239	2080,818
32.	Kec. Tandes	112,678	7,259	2706,297
33.	Kec. Tenggilis mejoyo	112,757	7,320	1774,073

Dapat dilihat pada Tabel 4.2 diatas bahwa konsentrasi gas Karbon Monoksida (CO) di 40 pos lokasi pengukuran, nilai minimum terdapat pada pos ke-20 yaitu pada pos Kec. Karangpilang dengan nilai $1479,696 \mu\text{g}/\text{Nm}^3$, kemudian nilai maksimum terdapat pada pos ke-17 yaitu pos Kec. Semampir dengan nilai $3714,590$. Rata-rata (mean) konsentrasi CO senilai $2294,787 \mu\text{g}/\text{Nm}^3$, nilai standart deviasi $591,468 \mu\text{g}/\text{Nm}^3$, dan nilai varian $349834,304 \mu\text{g}/\text{Nm}^3$, yang artinya konsentrasi gas Karbon Monoksida (CO) di Surabaya dari titik satu ketitik lainnya cukup bervariasi.

4.2. Pendeteksian Pencilan (*Outlier*) Spasial

Setelah mengetahui karakteristik data yang digunakan dalam penelitian dengan analisis statistik deskriptif dengan mencari nilai minimum, maksimum, rata-rata (*mean*), standart deviasi dan varians dari data kadar gas Karbon Monoksida (CO). Langkah kedua adalah mendeteksi apakah ada data yang mengandung pencilan atau *outlier*, karena penelitian menggunakan metode *ordinary kriging* maka data tersebut harus tidak memiliki pencilan. Jika dalam data mengandung pencilan atau *outlier* solusinya adalah data dihilangkan atau tidak diikutsertakan dalam pengolahan. Untuk mendeteksi adanya pencilan atau tidak dalam data dalam statistik dikenal dengan metode *spatial statistic Z test*, berikut tahapan-tahapan yang dilakukan:

1. Menentukan matriks jarak untuk titik-titik tersampel dengan menggunakan jarak *euclidean*, kemudian menentukan titik-titik yang saling berdekatan atau bertetangga. Contoh perhitungan jarak *euclidean* menggunakan persamaan 2.2 pada beberapa lokasi pos pengukuran seperti dibawah ini:

Tabel 4.4 Pendeteksian Pencilan atau Outlier Menggunakan Spatial Statistics Z Test

Pos	Kadar CO	Mean Tetangga	s_x	$Z_{s(x)}$	Keputusan
1.	1762,267	2180,436	-418,169	0,728	H_0 diterima
2.	3338,975	2913,667	425,308	0,557	H_0 diterima
3.	3659,740	2183,697	1476,043	2,155	H_0 ditolak
4.	2461,833	2218,358	243,474	0,280	H_0 diterima
5.	1762,267	2523,384	-761,117	1,247	H_0 diterima
6.	2913,667	3338,975	-425,308	0,736	H_0 diterima
7.	2332,546	2458,988	- 126,442	0,282	H_0 diterima
8.	2555,308	2137,964	417,343	0,544	H_0 diterima
9.	2223,986	2145,337	78,648	0,029	H_0 diterima
10.	1862,641	2293,832	-431,191	0,745	H_0 diterima
11.	2737,405	1963,770	773,635	1,086	H_0 diterima
12.	2564,342	2167,272	397,070	0,514	H_0 diterima
13.	2119,276	2767,573	-648,297	1,075	H_0 diterima
14.	1934,012	1797,875	136,1363	0,117	H_0 diterima
15.	1920,824	2743,079	-822,255	1,340	H_0 diterima
16.	3714,590	2291,255	1423,335	2,074	H_0 ditolak
17.	2006,305	2124,575	-118,270	0,269	H_0 diterima
18.	1841,334	2210,785	-369,451	0,651	H_0 diterima
19.	1479,696	2070,099	-590,403	0,987	H_0 diterima
20.	1866,262	2198,321	-332,059	0,594	H_0 diterima
21.	2586,108	2102,190	484,917	0,647	H_0 diterima
22.	3328,355	2561,709	766,646	1,076	H_0 diterima
23.	1775,703	2088,069	-312,366	0,564	H_0 diterima

Tabel 4.5 Data Kandungan Co di Kota Surabaya 37 Titik Pengukuran

Pos	Lokasi	Koordinat		Kandungan CO ($\mu g/m^3$)
		Bujur (X)	Lintang (Y)	
1.	Kec. Gubeng	112.756	7.271	1762.267
2.	Kec. Pakal	112.625	7.239	3338.975
4.	Hotel Ciputra World	112.719	7.293	2461.833
5.	Kec. Genteng	112.740	7.256	1762.267
6.	Kec. Benowo	112.609	7.237	2913.667
7.	Kec. Bubutan	112.734	7.251	2332.546
8.	BPN Sambikerep	112.649	7.276	2555.308
9.	Kel. Wonorejo	112.795	7.311	2223.986
10.	PMK Rungkut	112.734	7.272	1862.641
11.	Kec. Wiyung	112.695	7.314	2737.405
12.	Kec. Tegalsari	112.740	7.287	2564.342
13.	PT Salim Invomas	112.735	7.235	2119.276
14.	Kec. Mulyorejo	112.784	7.261	1934.012
15.	Kec. Kenjeran	112.775	7.226	1920.824
17.	Kec. Rungkut	112.770	7.322	2006.305
18.	Kec. Lakarsantri	112.632	7.303	1841.334
19.	Kec. Karangpilang	112.694	7.341	1479.696
20.	Kel. Lidahkulon	112.651	7.305	1866.262
21.	Kec. Wonokromo	112.733	7.302	2586.108

Tabel 4.6 Pembagian Kelas

Kelas	Interval Kelas	$N(h)$
1.	0,000 - 0,034	99
2.	0,034 - 0,068	218
3.	0,068 - 0,102	195
4.	0,102 - 0,136	99
5.	0,136 - 0,171	44
6.	0,171 - 0,205	11

Tabel 4.6 diatas merupakan hasil pembagian kelas beserta jarak atau interval kelas yang memiliki jumlah data yang disimbolkan $N(h)$, didapat dari jarak *euclidean* yang memiliki nilai kurang dari jarak atau interval tersebut, misalnya pada nilai interval 0,000 - 0,034 memiliki banyak data sebanyak 99, kemudian pada interval 0,034 - 0,068 memiliki 218 data, dan seterusnya sampai kelas ke 6. Langkah selanjutnya adalah menghitung nilai semivariogram eksperimental untuk tiap kelasnya, menggunakan Persamaan 2.9 berikut adalah contoh perhitungan pada kelas 1 yang ditampilkan pada tabel dengan $Z(s_i)$ sebagai nilai CO pada pos asli dan $Z(s_i + h)$ sebagai nilai CO pada pos asli ditambahkan dengan 1 jarak, dapat dilihat sebagai berikut:

Tabel 4.7 Perhitungan Nilai Semivariogram Kelas 1

No.	Pasangan Data		$Z(s_i)(a)$	$Z(s_i + h)(b)$	$(a - b)^2$
1.	1	4	1762.267	1762.267	0
2.	1	6	1762.267	2332.546	325218.138
3.	1	9	1762.267	1862.641	10074.939
4.	1	11	1762.267	2564.342	643324.306

Tabel 4.9 Perhitungan Nilai Semivariogram Eksperimental

Kelas	Interval Kelas	$N(h)$	Semivariogram Eksperimental
1.	0,000 - 0,034	99	209403,290
2.	0,034 - 0,068	218	229366,810
3.	0,068 - 0,102	195	229346,224
4.	0,102 - 0,136	99	384742,434
5.	0,136 - 0,171	44	360849,450
6.	0,171 - 0,205	11	543171,513

4.4. Penentuan Model Semivariogram Teoritis

Penentuan model semivariogram teoritis pada penelitian ini akan membandingkan dengan model eksperimental yang telah diketahui nilainya, selanjutnya penentuan model semivariogram teoritis harus terlebih dahulu mengetahui parameter sill dan *range*. Nilai *sill* merupakan nilai semivariogram yang memiliki kecenderungan stabil diperoleh dari nilai varian data bertujuan untuk mengetahui ukuran penyebaran, sedangkan *range* merupakan jarak semivariogram mencapai *sill* diperoleh dari batas tengah, sehingga perhitungan *sill* dan *range* dituliskan sebagai berikut:

Tabel 4.10 Perhitungan Nilai *Sill*

No.	Pos	x	\bar{x}	$x - \bar{x}$	$(x - \bar{x})^2$
1.	kec. Gubeng	1762.267	2229.028	-466.761	217865.654
2.	kec. Pakal	3338.975	2229.028	1109.947	1231982.343
3.	hotel ciputra world	2461.833	2229.028	232.805	54198.1680
4.	kec. Genteng	1762.267	2229.028	-466.761	217865.831

Tabel 4.12 Perbandingan Semivariogram Eksperimental dengan Model *Spherical*

Kelas	Eksperimental	<i>Spherical</i>	<i>Error</i> 100%
1.	209403.290	224342.945	-6.659
2.	229366.810	263359.110	-12.907
3.	229346.224	263359.110	-12.915
4.	384742.434	263359.110	46.090
5.	360849.450	263359.110	37.018
6.	543171.513	263359.110	106.247
Jumlah			156.874
MAPE			26.145

Tabel 4.13 Perbandingan Semivariogram Eksperimental dengan Model *Eksponential*

Kelas	Eksperimental	<i>Eksponential</i>	<i>Error</i> 100%
1.	209403.290	227717.330	-8.042
2.	229366.810	258535.519	-112.901
3.	229346.224	262706.308	-12.698
4.	384742.434	263270.763	46.139
5.	360849.450	263347.153	37.024
6.	543171.513	263357.492	106.248
Jumlah			55.769
MAPE			9.294

Tabel 4.14 Perbandingan Semivariogram Eksperimental dengan Model *Gaussian*

Kelas	Eksperimental	<i>Gaussian</i>	Error %
1.	209403.290	193938.402	7.974
2.	229366.810	262087.625	-12.484
3.	229346.224	263357.492	-12.914
4.	384742.434	263359.110	46.090
5.	360849.450	263359.110	37.018
6.	543171.513	263359.110	106.247
Jumlah			171.930
MAPE			28.655

Dari ketiga tabel diatas diketahui bahwa setiap model memiliki nilai MAPE yang berbeda dengan interpretasi bahwa model *spherical* memiliki nilai MAPE sebesar 26.145% yang artinya memiliki model peramalan layak atau *reasonable*, kemudian pada model *eksponensial* memiliki tingkat akurasi MAPE sebesar 9.294% yang artinya pada model tersebut memiliki kemampuan peramalan sangat baik dibawah dari 10% dan pada model *gaussian* memiliki nilai MAPE sebesar 28.655% dengan artian peramalan yang dihasilkan layak atau *reasonable*. kesimpulannya adalah dari ketiga model yang memiliki hasil sangat baik dan memiliki peramalan tinggi adalah model *eksponensial* dengan nilai MAPE sebesar 9.294%. Dibawah ini adalah hasil grafik yang dihasilkan dari data aktual dengan pendekatan 3 model teoritis:

21.	112.795	7.323	1775.703	0.021	38.960
22.	112.755	7.257	1666.152	0.007	11.875
23.	112.746	7.238	2780.132	-0.010	-28.077
24.	112.741	7.320	2174.349	0.015	33.129
25.	112.713	7.321	1897.214	0.007	13.967
26.	112.712	7.260	1805.229	0.126	228.516
27.	112.752	7.283	2556.106	0.009	25.525
28.	112.785	7.231	1682.266	0.015	26.271
29.	112.790	7.239	2080.818	0.022	46.318
30.	112.678	7.259	2706.297	0.100	271.534
31.	112.758	7.320	1774.073	0.014	25.076
32.	112.724	7.334	1629.441	0.023	39.075
33.	112.745	7.225	3457.59	0.051	179.142
34.	112.710	7.327	2016.337	0.008	17.695
35.	112.780	7.338	2033.916	0.029	60.543
36.	112.770	7.299	2765.427	0.018	51.805
37.	112.716	7.284	2075.570	0.004	10.136
Jumlah					2439.173

Berdasarkan hasil dari tabel diatas, disimpulkan bahwa pada titik kelurahan Genting Kalianak berada pada koordinat P (112.702 ; 7.222) memiliki kandungan karbon monoksida sebesar 2439.173 $\mu g/Nm^3$. Perhitungan pendugaan akan dilanjutkan pada 154 kelurahan Kota Surabaya dengan langkah yang sama, dengan pendugaan masing-masing nilai matriks A^{-1} dan vector B yang berbeda. Sehingga akan menghasilkan bilai bobot yang berbeda tiap titik lokasi pengukurannya.

20.	Pradah Kalikendal	112.688	7.283	2702.140
21.	Dukuh Menanggal	112.726	7.345	1945.954
22.	Gayungan	112.728	7.334	1779.465
23.	Ketintang	112.725	7.309	2358.929
24.	Menanggal	112.722	7.341	1821.334
25.	Embong Kaliasin	112.747	7.263	1760.084
26.	Genteng	112.738	7.256	1853.941
27.	Kapasari	112.751	7.248	2112.755
28.	Ketabang	112.751	7.256	1775.196
29.	Peneleh	112.743	7.252	1981.213
30.	Airlangga	112.759	7.276	2123.728
31.	Barata Jaya	112.759	7.298	2544.484
32.	Gubeng	112.755	7.271	1762.267
33.	Kertajaya	112.758	7.283	2425.190
34.	Mojo	112.762	7.271	1961.937
35.	Pucang Sewu	112.752	7.287	2574.935
36.	Gunung Anyar	112.804	7.339	2187.664
37.	Gunung Anyar Tambak	112.813	7.336	2257.285
38.	Rungkut Menanggal	112.768	7.337	2072.774
39.	Rungkut Tengah	112.777	7.3231	2052.050
40.	Jambangan	112.712	7.321	1946.797
41.	Karah	112.713	7.310	2319.269
42.	Kebonsari	112.713	7.328	1928.127

43.	Pagesangan	112.708	7.334	1898.757
44.	Karang Pilang	112.694	7.342	1571.095
45.	Kebraon	112.699	7.333	1881.317
46.	Kedurus	112.709	7.317	2194.121
47.	Waru Gunung	112.673	7.350	2193.658
48.	Bulak Banteng	112.762	7.212	2552.882
49.	Tambak Wedi	112.774	7.21	2306.944
50.	Tanah Kalikedinding	112.775	7.226	1922.708
51.	Sidotopo Wetan	112.761	7.226	2560.555
52.	Dupak	112.720	7.243	2236.290
53.	Kemayoran	112.728	7.237	2224.3406
54.	Krembangan Selatan	112.738	7.235	2340.040
55.	Morokrembangan	112.722	7.235	2294.113
56.	Perak Barat	112.726	7.230	2369.670
57.	Bangkingan	112.653	7.325	2204.368
58.	Jeruk	112.637	7.304	1914.635
59.	Lakarsantri	112.633	7.303	1845.494
60.	Lidah Kulon	112.661	7.307	2169.440
61.	Lidah Wetan	112.665	7.307	2252.409
62.	Sumur Welut	112.671	7.325	2256.519
63.	Dukuh Sutorejo	112.791	7.260	2078.689
64.	Kalijudan	112.777	7.255	1983.720
65.	Kalisari	112.794	7.258	2133.581

66.	Kejawen Putih Tambak	112.809719	7.278686	2133.581103
67.	Manyar Sabrangan	112.781581	7.282326	2337.271697
68.	Mulyorejo	112.785364	7.262099	1962.4515
69.	Bongkaran	112.740173	7.240109	2398.946143
70.	Krembangan Utara	112.735311	7.229085	2548.16941
71.	Nyamplungan	112.739572	7.231138	2690.634812
72.	Perak Timur	112.733554	7.22385	2663.486846
73.	Perak Utara	112.73308	7.221762	2681.085737
74.	Babat Jerawat	112.630412	7.242013	3102.87445
75.	Benowo	112.609436	7.237391	2913.667
76.	Pakal	112.625402	7.239948	3338.975
77.	Sumberejo	112.610001	7.229247	2817.31572
78.	Kali Rungkut	112.768635	7.337462	2072.774397
79.	Kedung Baruk	112.776162	7.314717	2210.258398
80.	Medokan Ayu	112.795565	7.323735	1775.703
81.	Penjaringan Sari	112.783928	7.314797	2177.463336
82.	Rungkut Kidul	112.776405	7.327364	2024.920522
83.	Wonorejo	112.734398	7.289166	2462.038772
84.	Bringin	112.646879	7.260278	2643.946004
85.	Made	112.63742	7.276982	2467.547703
86.	Lontar	112.67135	7.277227	2637.991312
87.	Sambikerep	112.653841	7.27426	2566.848989
88.	Banyu urip	112.721278	7.270524	1986.927112
89.	Kupang Krajan	112.72802	7.269487	1937.132333
90.	Pakis	112.715127	7.286882	2209.182784

91.	Patemon	112.719	7.627	2456.233
92.	Putat Jaya	112.717	7.280	2087.026
93.	Sawahan	112.727	7.265	1943.894
94.	Ampel	112.746	7.228	3208.031
95.	Pegirian	112.752	7.226	3046.970
96.	Sidotopo Wetan	112.746	7.228	3200.152
97.	Ujung	112.744	7.224	3305.002
98.	Wonokusumo	112.753	7.214	2794.930
99.	Kapasan	112.748	7.240	2654.731
100.	Sidodadi	112.747	7.237	2791.078
101.	Simokerto	112.754	7.236	2646.979
102.	Simolawang	112.748	7.234	2870.834
103.	Tambakrejo	112.75	7.248	2108.634
104.	Gebang Putih	112.788	7.283	2339.591
105.	Keputih	112.814	7.288	2376.693
106.	Klampus Ngasem	112.780	7.287	2419.718
107.	Medokan Semampir	112.782	7.306	2366.629
108.	Menur Pumpungan	112.768	7.289	2526.339
109.	Nginden Jangkungan	112.769	7.301	2667.427
110.	Semolowaru	112.779	7.301	2498.124
111.	Putat Gede	112.698	7.285	2563.191
112.	Simomulyo	112.711	7.264	1975.3884
113.	Simomulyo Baru	112.706	7.270	2326.292
114.	Sono Kwijen	112.705	7.276	2406.574
115.	Sukomanunggal	112.699	7.266	2730.257

116.	Tanjungsari	112.691	7.260	2937.277
117.	Dukuh Setro	112.778	7.240	1975.604
118.	Gading	112.778	7.248	2009.566
119.	Kapas Madya Baru	112.768	7.237	2181.269
120.	Pacar Kembang	112.766	7.255	1938.619
121.	Pacar Keling	112.762	7.257	1858.880
122.	Ploso	112.761	7.251	1972.028
123.	Rangkah	112.765	7.248	2055.235
124.	Tambaksari	112.754	7.253	1872.403
125.	Balongsari	112.678	7.257	2705.910
126.	Banjar Sugihan	112.657	7.253	2632.338
127.	Karang Poh	112.681	7.262	2853.227
128.	Manukan Kulon	112.669	7.260	2652.511
129.	Manukan Wetan	112.672	7.258	2662.746
130.	Tandes	112.684	7.262	2927.629
131.	Dr. Sutomo	112.736	7.277	2095.668
132.	Kedungdoro	112.736	7.263	1876.541
133.	Keputran	112.741	7.276	2123.865
134.	Tegalsari	112.727	7.274	1997.423
135.	Wonorejo	112.797	7.311	2221.288
136.	Kendangsari	112.744	7.329	2041.513
137.	Kutisari	112.747	7.334	2047.048
138.	Panjang Jiwo	112.764	7.309	2301.119

Jumlah Hari Terjadinya Hujan di NTB. Jurnal Varian. Vol (3). No (2). Hal: 73-82. e-ISSN: 2581-2017.

Budhiprameswari, Tania. D., Rachmatin, D., Lukman. (2019). *Estimasi Kandungan CBM Tertinggi Dengan Metode Ordinary Kriging Di Daerah Mangunjaya dan Sekitarnya Provinsi Sumatra Selatan*. Jurnal EurekaMatika. Vol (7). No (1). Hal: 24-33.

Damara, Dikn. D. Wardhana, Wisnu. I. Sutrisno, Endro. (2017) *Analisis Dampak Kualitas Udara Karbon Monoksida (CO) Di Sekitar Jl. Pemuda Akibat Kegiatan Car Free Day Menggunakan Program Caline4 Dan Surfer (Studi Kasus: Kota Semarang)*. Jurnal Teknik Lingkungan. Vol (6). No (1).

Diza, Aulia Mestika. S.Huboyo, Haryono. Muhlisin, Z. (2017). *Penyisihan Emisi CO Pada Asap Rokok Kretek Filter Dengan Variasi Tegangan Listrik Menggunakan Teknologi Plasma* . Jurnal Teknik Lingkungan.

Fauzy, Ary. R. (2018). *Interpolasi Spasial Cokriging Menggunakan Semivariogram Anisotropik Exponential, Stable Exponential dan Gaussian Pada Kadar NO2 Dan SO2 Di Jawa Timur*. Departemen Matematika dan Ilmu Pengetahuan Alam Universitas Brawijaya. Tidak Diterbitkan

Fauzi, Ihwan. (2018). *Analisis Geostatistik dalam Menentukan Keseragaman Nilai Kepadatan Tanah Liat*. Jurnal Teoritis dan Terapan Bidang Rekayasa Sipil. Vol (25). No (3). ISSN: 0853-2982.

Ferdinan. Marsius. (2016) *Analisis Uji Emisi Gas Buang Kendaraan Bermotor dan Dampaknya Terhadap Lingkungan di Kota Balikpapan (Kalimantan Timur)*. Jurnal Transmisi. Vol (2). No (1).

- Gunawan, Safri. Hasan, Hanafi. Lubis, R.D.W. (2020). *Pemanfaatan Adsorben dari Tongkol Jagung sebagai Karbon Aktif untuk Mengurangi Emisi Gas Buang Kendaraan Bermotor*. Jurnal Rekayasa Material, Manufaktur dan Energi. Vol (3). No (1). Hal:38-47. ISSN: 2622-7398.
- Ghozali and Imam. (2005). *Aplikasi Analisis Multivariate dengan SPSS*. Semarang: Badan Penerbit UNDIP.
- Hamil, KAD. (2018). *Analysis of Data of Different Spatial Support A Multivariate Process Approach*. A Dissertation Faculty of Purde Unversity.
- Haruna, Lahming, dkk. (2019). *Pencemaran Udara Akibat Gas Buang Kendaraan Bermotor Dan Dampaknya Terhadap Kesehatan*. UNM Environmental Journals. Vol (2). No (2). Hal:57-61. p-ISSN: 2598-6090. e-ISSN: 2599-2902.
- Hastutiningrum, Sri. Pratiwi, Yuli. Gurusinga, Jefriyadi. (2018). *Perbandingan Efektivitas Penyerapan Pb dan CO Di Udara Pada Tanaman Angsana (Pterocarpus Indicus) Dan Glodokan Tiang (Polyalthia Longifera) Sebagai Upaya Biofilter Udara (Studi Kasus di Jalan Affandi Yogyakarta)* . Jurnal Teknologi Technoscintia. Vol (10). No (2). ISSN: 1979-8415.
- Hayami. Regiolina, Sunanto, Oktaviandi. Irfa. (2021). *Penerapan Metode Single Exponential Smoothing Pada Prediksi Penjualan Bed Sheet*. Jurnal Computer Science And Information Technology (CoSciTech). Vol (2). No (1). hal (32-29). p-ISSN: 2723-567X. e-ISSN: 2723-5661.
- Hazsya, Mutia, and Nurjazuli. (2018). *Hubungan Konsentrasi Karbon Monoksida Monoksida (CO) dan Faktor-faktor Resiko dengan Konsentrasi COHb dalam Darah pada Masyarakat Beresiko di Sepanjang Jalan Setiabudi Semarang*. E-Jurnal Kesehatan Masyarakat. 6(6). ISSN: 2356-3346, FKM UNDIP.

- Ilmiawan, Dwiki. F. (2019). *Proyeksi Penurunan Beban Emisi CO Sumber Transportasi di Beberapa Ruas Jalan Kota Medan Dengan Skenario Sistem Bus Rapod Transit (BRT)*. Sumatra Utara. Departemen Teknik Lingkungan. Tidak Diterbitkan.
- Jaya, Zairipan. (2017). *Analisis Pengaruh Lalu Lintas Kendaraan Bermotor Di Jalan Pelabuhan Terhadap Mutu Udara Ambien*. Jurnal Rekayasa Sipil (JRS-UNAND). Vol (13). No (1). e-ISSN: 2477-3484. p-ISSN: 1858-2133.
- Kementrian Agama Republik Indonesia (KEMENAG). (2018). *Al-Qur'an dan Terjemahannya*. Surah Al-Baqarah. [http: quran.kemenag.go.id](http://quran.kemenag.go.id)
- Kevin, Andrian. (2020) *Waspada! Keracunan Karbon Monoksida yang Sulit Terdeteksi*. ALODOKTER. Kementrian Kesehatan Republik Indonesia. <https://www.alodokter.com/waspada-keracunan-karbon-monoksida-yang-sulit-terdeteksi>.
- Khaerulani, and Qosim, N. (2019) *Sintesis Membran Zeolit ZSM-5 Dengan Penyangga Kasa Aisi 316-180 Berdasarkan Variasi Perlakuan sebagai Catalytic Converter Gas CO pada Emisi Gas Buang Kendaraan Bermotor*. Undergraduate Thesis. Semarang: University Muhammadiyah.
- Lubis, Deltha. A., Fauziah, S. (2018). *Metode Ordinary Point Kriging Untuk Memprediksi Inflasi di Kabupaten/Kota Yang Tidak Tersampel*. Jurnal Litbang Sukowati. Vol (2). No (1). Hal: 36-48. ISSN: 2580-541X. e-ISSN: 2614-3356.
- Makbul, Ghina Fauziah. (2020). *Analisis Konsentrasi CO Dan NO2 Dalam Menentukan Kualitas Udara Di Kawasan Perumahan Bumi Tamalanre Permai*. Departemen Teknik Lingkungan Hasanudin. Tidak Diterbitkan.

- Miftahuddin, Y., Umaroh, S., Karim, Fahmi, R. (2020). *Perbandingan Metode Perhitungan Jarak Euclidean, Haversine, dan Manhattan dalam Penentuan Posisi Karyawan (Studi Kasus: Institut Teknologi Nasional Bandung)*. Jurnal Tekno Insentif. Vol (14). No (2). Hal: 69-77. p-ISSN: 1907-4964. e-ISSN: 2655-089X
- Mubarok, Said. (2016). *Hadist Tentang Peduli Lingkungan*. Al-Ishlah: Jurnal Pendidikan. Vol (8). No (1). p-ISSN: 2087-9490. e-ISSN: 2597-940X.
- Muzayyid. (2015). *Studi Konsentrasi Kadar Karbon Monoksida (CO) di Jalan A. P Pettarani Kota Makassar Tahun 2014*, Fakultas Ilmu Kesehatan. Makassar UINLAM. Skripsi.
- Nishom, M. (2019). *Perbandingan Akurasi Euclidean Distance, Minkowski Distance, dan Manhattan Distance pada Algoritma K-Means Clustering Berbasis Chi-Square*. Jurnal Pengembangan IT (JPIT). Vol (4). No (1). p-ISSN:2477-5126. e-ISSN: 2548-9356.
- Nurhayati, A., Ummah, A.I., and Shobron, S. (2018). *Kerusakan Lingkungan dalam Al-Qur'an*. Jurnal SUHUF. 30(2): 194-220.
- Pinto, J.A., Kumar, P., Alonso, M.F., et al. (2002) *Kriging Method Application and Traffic Behavior Profiles from Local Radar Network Database: A Proposal to Support Traffic Solutions and Air Pollution Control Strategies*. Elsevier Ltd. Contents lists available at ScienceDirect. Journal homepage: www.elsevier.com/locate/scs. Publish 30 January 2020.
- Purwanta, Wahyu. (2018). *Pemenuhan Baku Mutu Udara Emisi dan Penanganannya: Tinjauan Atas Polutan Pertikulat, NOx dan SO2*. Prosiding Seminar Nasional dan Konsultasi Teknologi Lingkungan.

- Purnama, P.M., Sukarsa, K.G., Dharmawan, K. (2015). *Interpolasi Spasial Dengan Metode Ordinary Kriging Menggunakan Semivariogram Isotropik Pada Data Spasial (Studi Kasus: Curah Hujan Di Kabupaten Karangasem)*. E-Jurnal Matematika. 4(1):26-30.
- Puspitasari, C.D. Lepong, Piter. Natalisanto, A. I. (2019). *Analisis Penyebaran Sifat Fisis Batuan Reservoir Dengan Metode Geostatistik (Studi Kasus: Lapangan Boonsville, Texas, Amerika Serikat)*. Jurnal Geosains Kutai Basin. Vol (2). No (1). e-ISSN: 2645-5176.
- Prabowo, Kwat. Muslim, Burhan (2018) *Penyehatan Udara*. Kementerian Kesehatan Republik Indonesia: Badan Pengembangan dan Pemberdayaan Sumber Daya Manusia Kesehatan Edisi Tahun 2018.hal 8.
- Rahmadani and Tualeka, Abdul. R., (2016) *Karakteristik Risiko Kesehatan Akibat Paparan Polutan Udara Pekerja Sol Sepatu (Di Sekitar Jalan Raya Bubutan Kota Surabaya)*. Jurnal Kesehatan Lingkungan. Vol(8) No(2) Hal:164-171.
- Robbi, Moh. Da'i. (2016). *Pendidikan Pelestarian Lingkungan Hidup Dalam Islam (Keseimbangan Ekosistem Persepektif Hadis. Al-Ibtida'. Vol (4). No (2). Hal: 55-85.*
- Rohmatullah, T. (2016). *6,5 Juta Per Tahun Meninggal Karena Polusi Udara*. <http://www.pikiran-rakyat.com/luar-negeri/2016/07/06/65-juta-orang-tahun-meninggal-karena-polusi-udara>.
- Rory. dan Diana, Rita. (2019). *Prediksi Geostatistik Area Kecil Pada Data Survei Berbasis Blok Sensus (Studi Kasus: Prediksi Rata-Rata Lama Sekolah Tingkat Nagari di Kabupaten Padang Pariaman)*. Seminar Nasional Official Statistic. BPS Sumatra Barat.

- Rozalia, Gera. Yasin, H. Ispriyanti, D. (2016) *Penerapan Metode Ordinary Kriging Pada Pendugaan Kadar NO₂ Di Udara (Studi Kasus: Pencemaran Udara di Kota Semarang)*. Jurnal Gaussian. Vol (5). No (1). Hal: 113-121. Diponegoro.
- Sada, Heru Juabdin. (2016). *Alam Semesta Dalam Persepektif Al-Qur'an Dan Hadist*. Al-Tadzkiyyah: Jurnal Pendidikan Islam. Vol (7). P-ISSN: 20869118. E-ISSN: 2528-2476.
- Sejati, Sadea. P. (2019). *Perbandingan Akurasi Metode IDW dan Kriging Dalam Pemetaan Muka Air Tanah*. Majalah Geografi Indonesia. Vol (33). No (2). Hal:49-57. ISSN: 0125-1790. e-ISSN: 2540-945X.
- Shihab, Quraish, M. (2015) *TafsirQ*, TafsirQ.com, <https://tafsirq.com/7-al-araf/ayat-56tafsir-quraish-shihab>, <https://tafsirq.com/2-al-baqarah/ayat-11tafsir-quraish-shihab>, <https://tafsirq.com/30-ar-rum/ayat-41tafsir-quraish-shihab>.
- Wahyudi, Anjan, W., Sugito, Ispiyanti, D. (2016). *Metode Robust Kriging Untuk Mengestimasi Data Spasial Berpencilan (Studi Kasus: Pencemaran Udara Gas NO₂ di Kota Semarang)*.Jurnal Gaussian. Vol (5). No (3), Hal: 321-330. ISSN: 2339-2541.
- World Health Organization (WHO). (2014). *Ambient (Outdoor) Air Quality and Health*. Global Update.
- Yendra, Rado dan Risman, Rif'a. (2019). *Penerapan Metode Ordinary Kriging pada Pendugaan Kriminalitas di Kota Pekan Baru*. Jurnal Sains Matematika dan Statistika. Vol (5). No (1). ISSN: 2460-4542. e-ISSN: 2615-8663.
- Zaini, Muhammad. (2018). *Alam Semesta Menurut Al-Qur'an*. Journal of Qur'anic Studies. Vol(2) No (2). Hal: 30-46.

